

Fig. 1

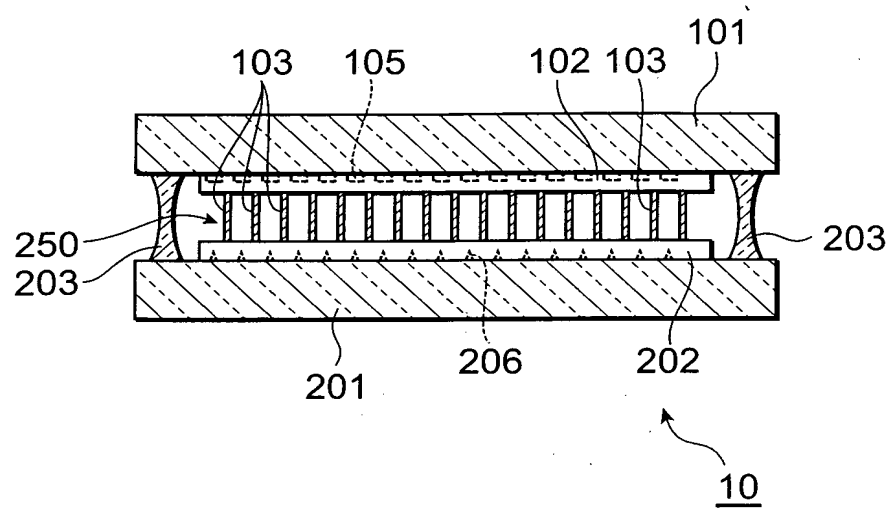
Fig.2

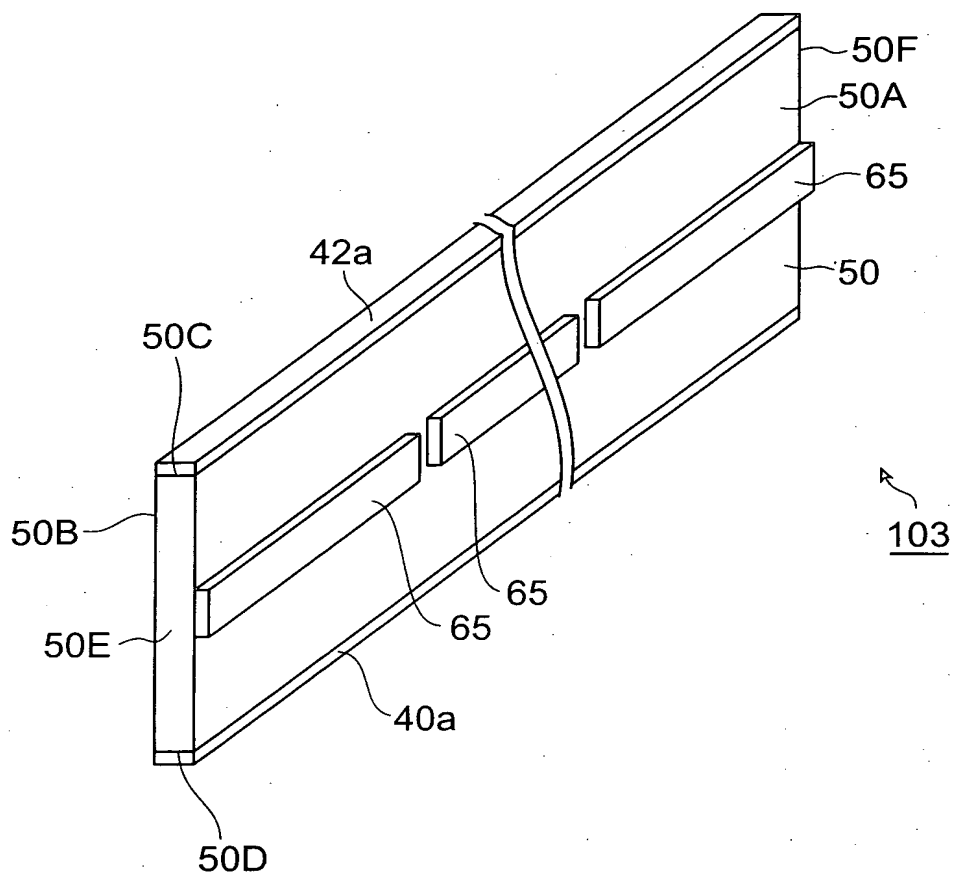
Fig.3

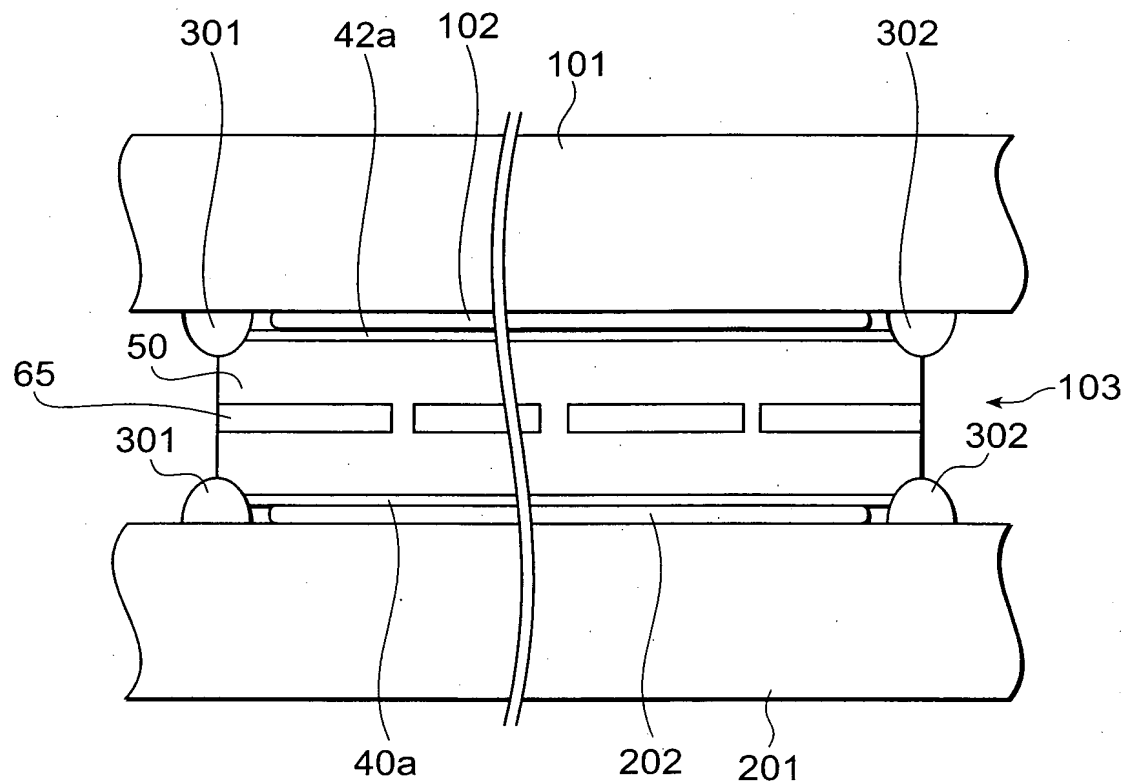
Fig.4

Fig.5

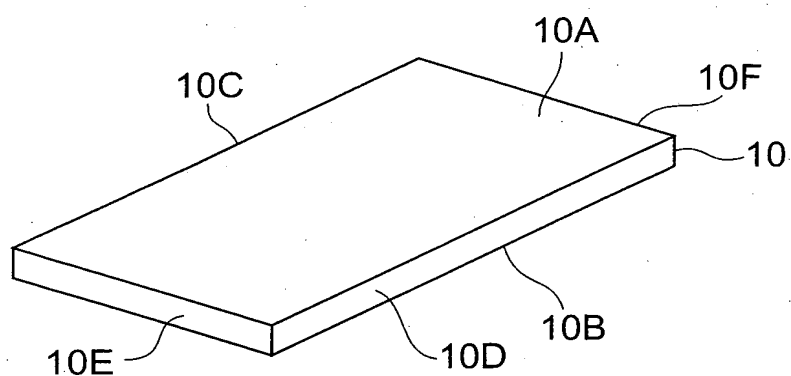
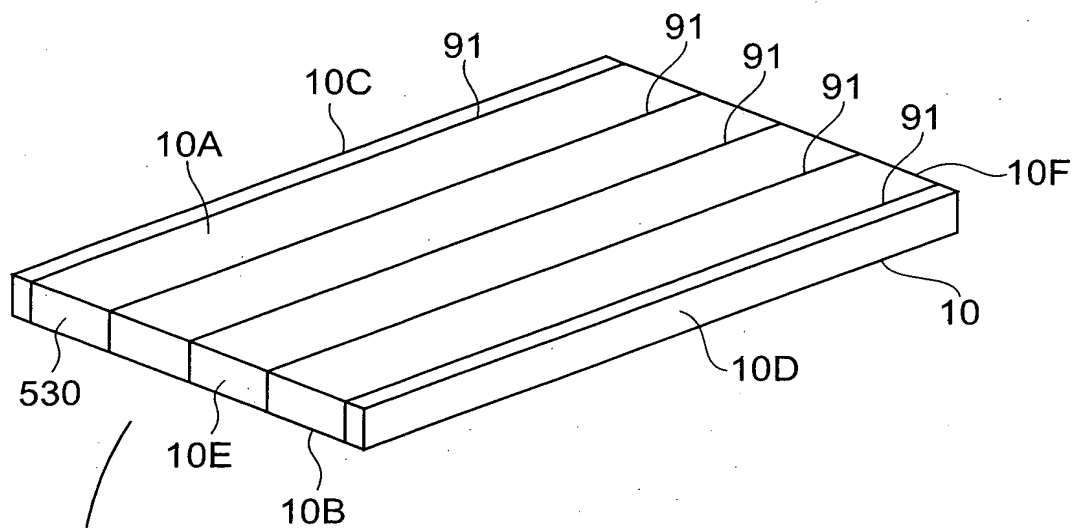


Fig. 6

(a)



(b)

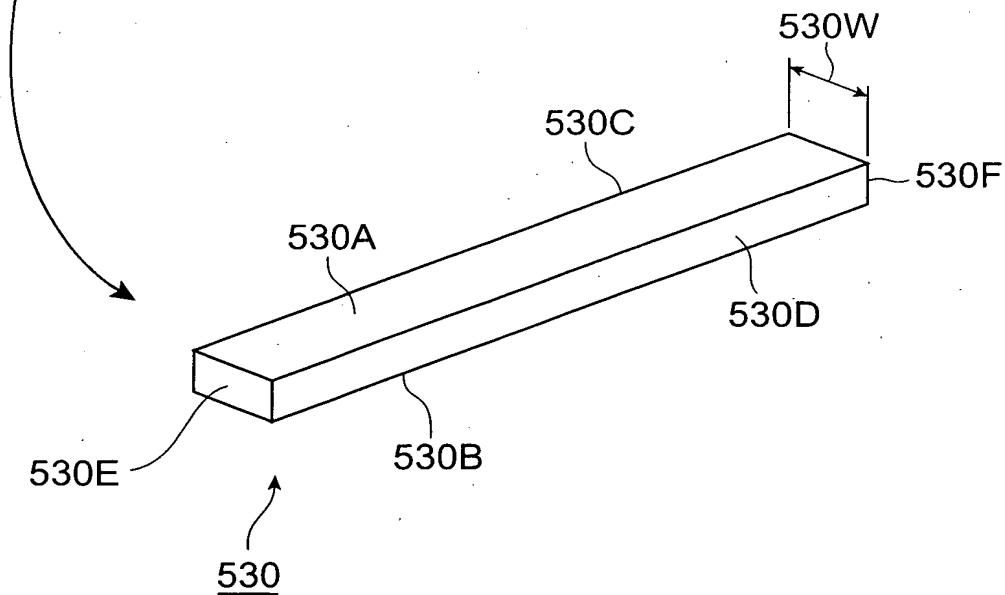


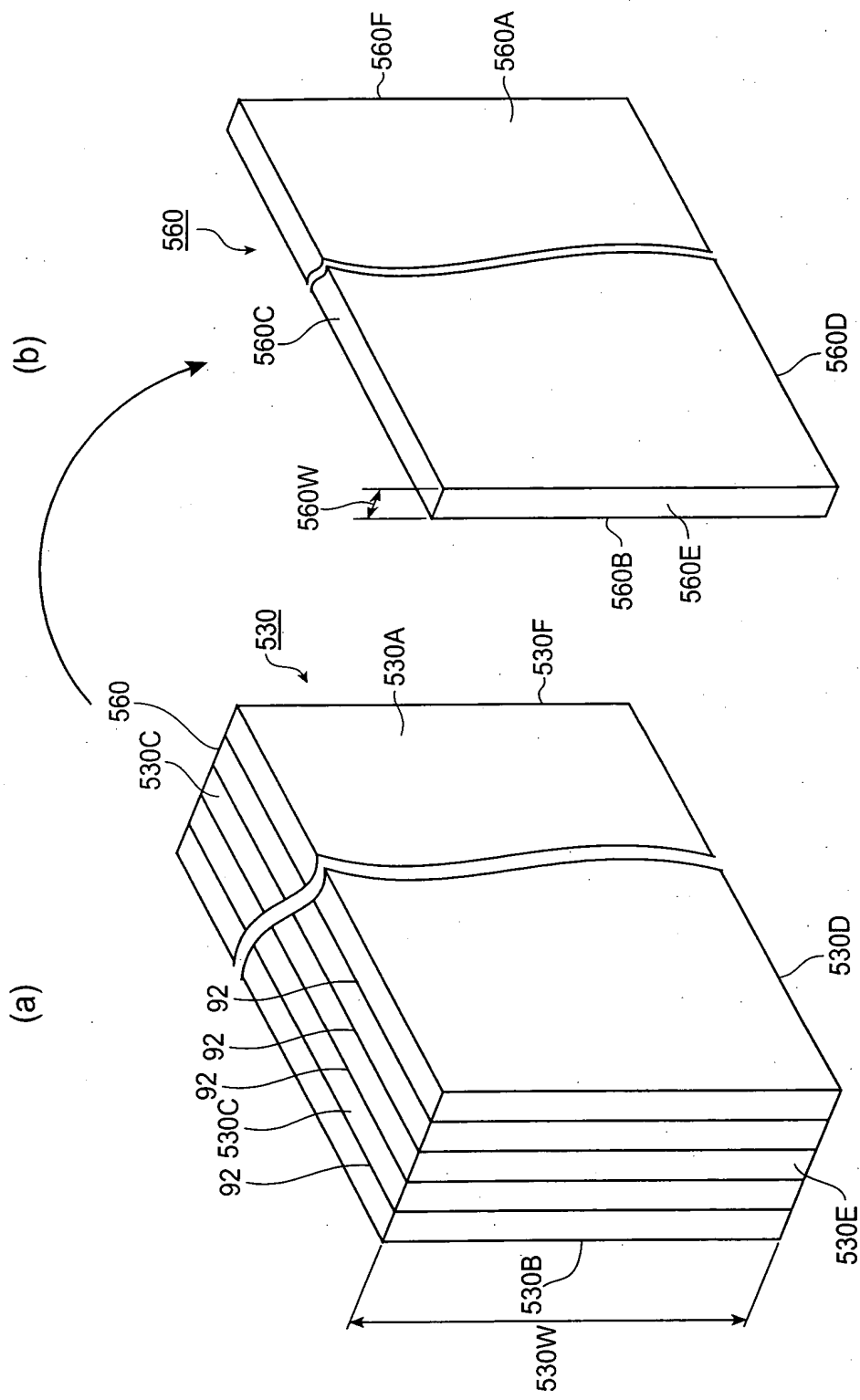
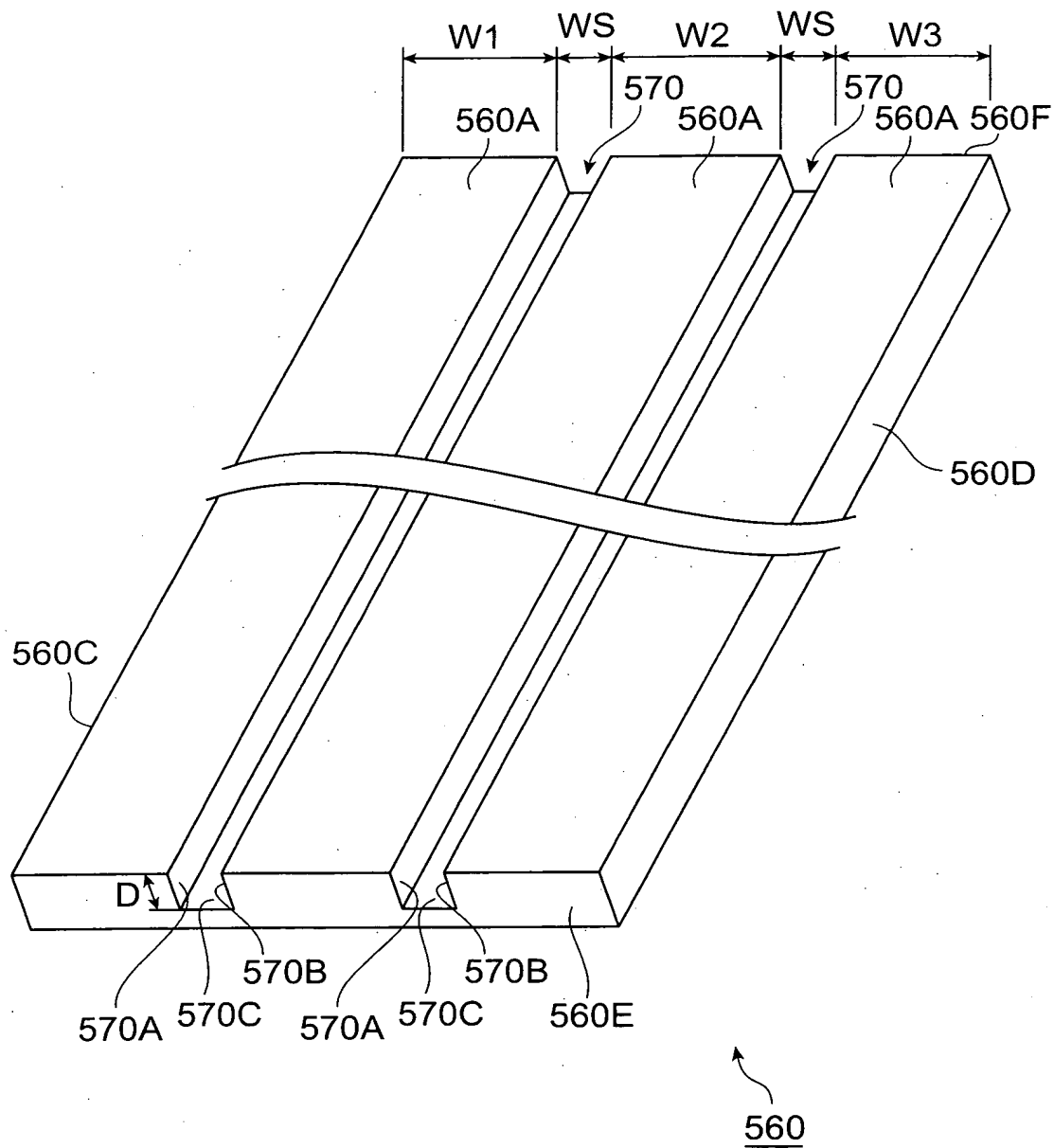
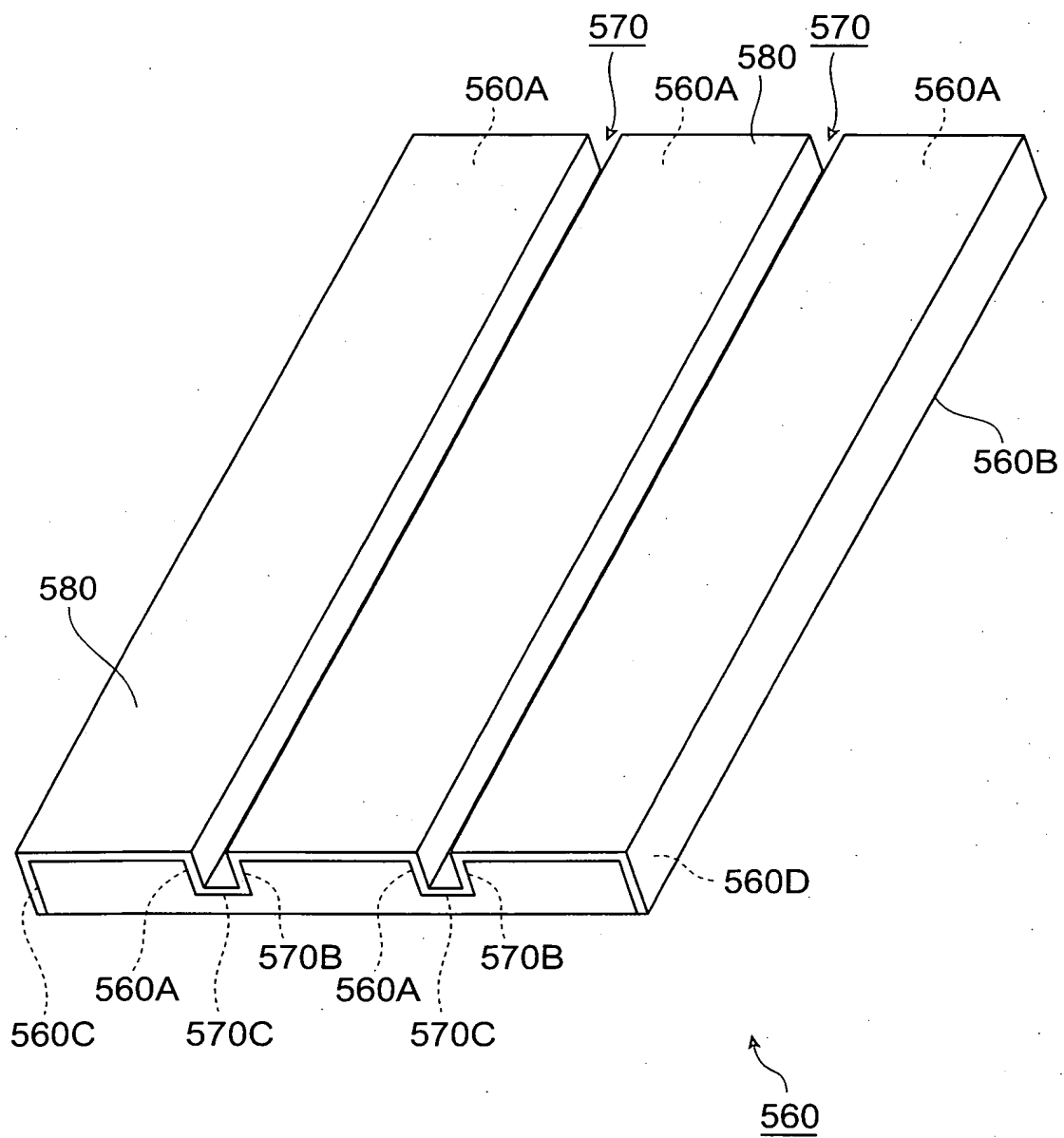
Fig. 7

Fig.8

9/17

Fig. 9

FP04-0198-00

10/17

Fig.10

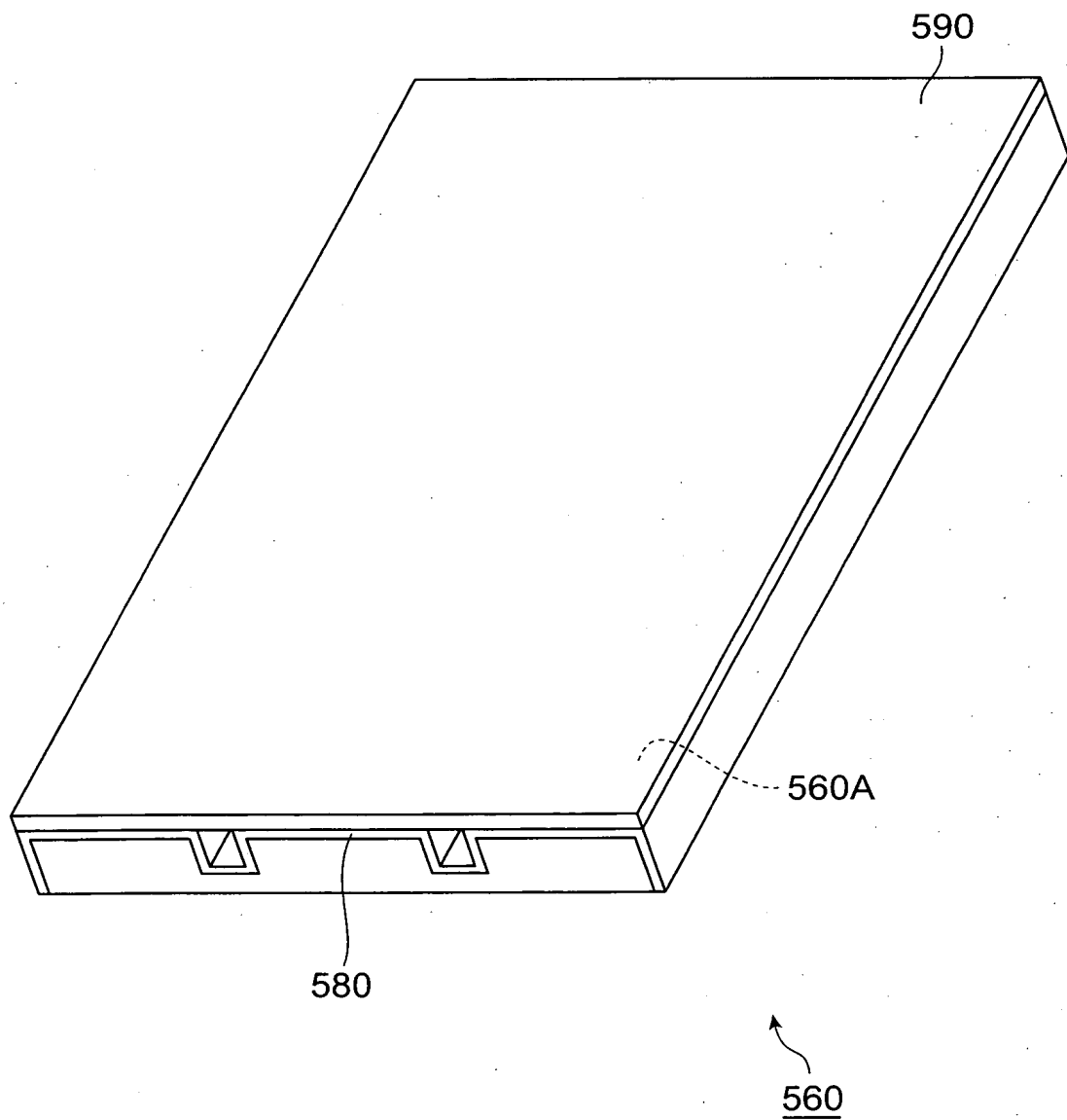


Fig. 11

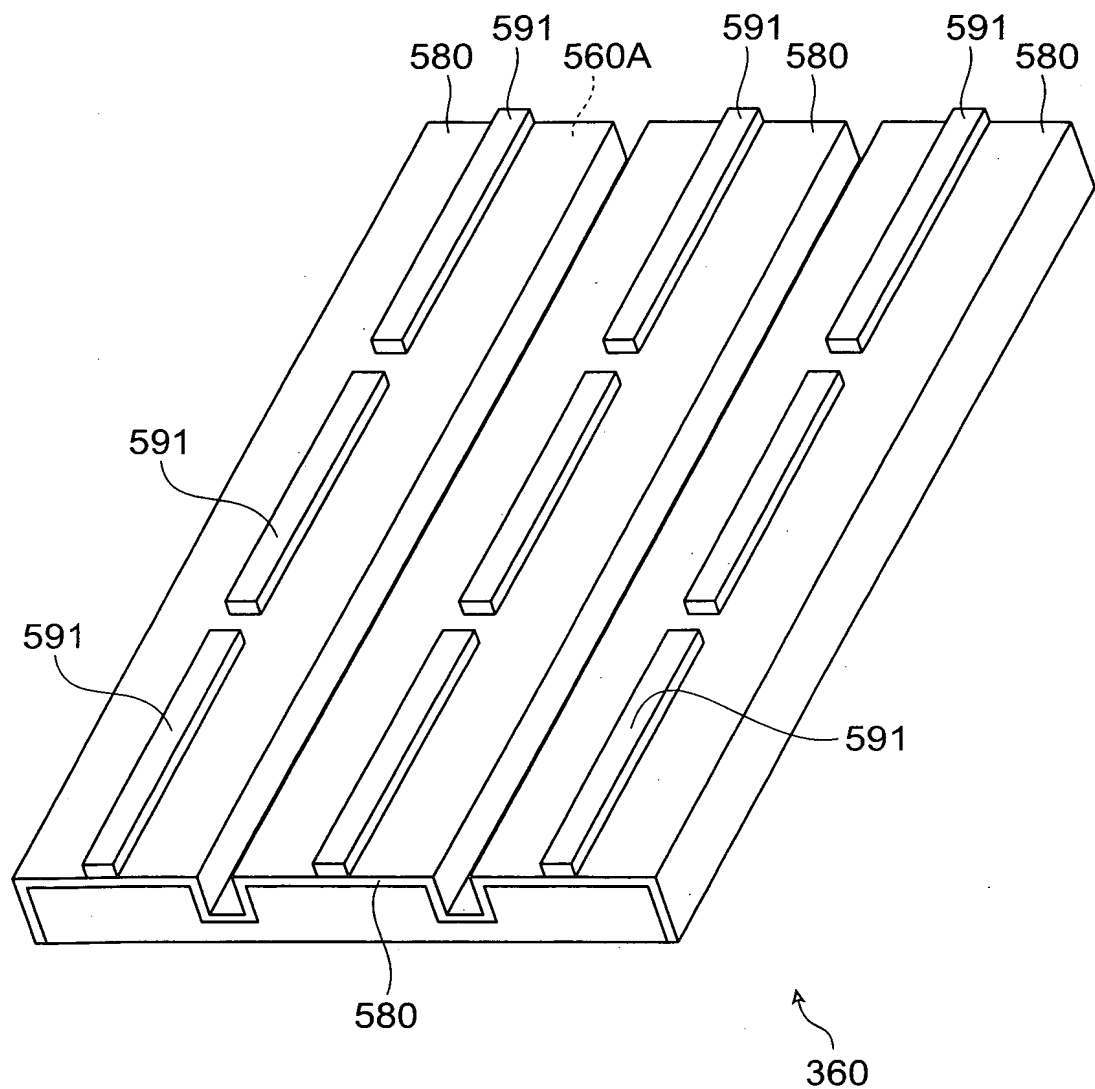


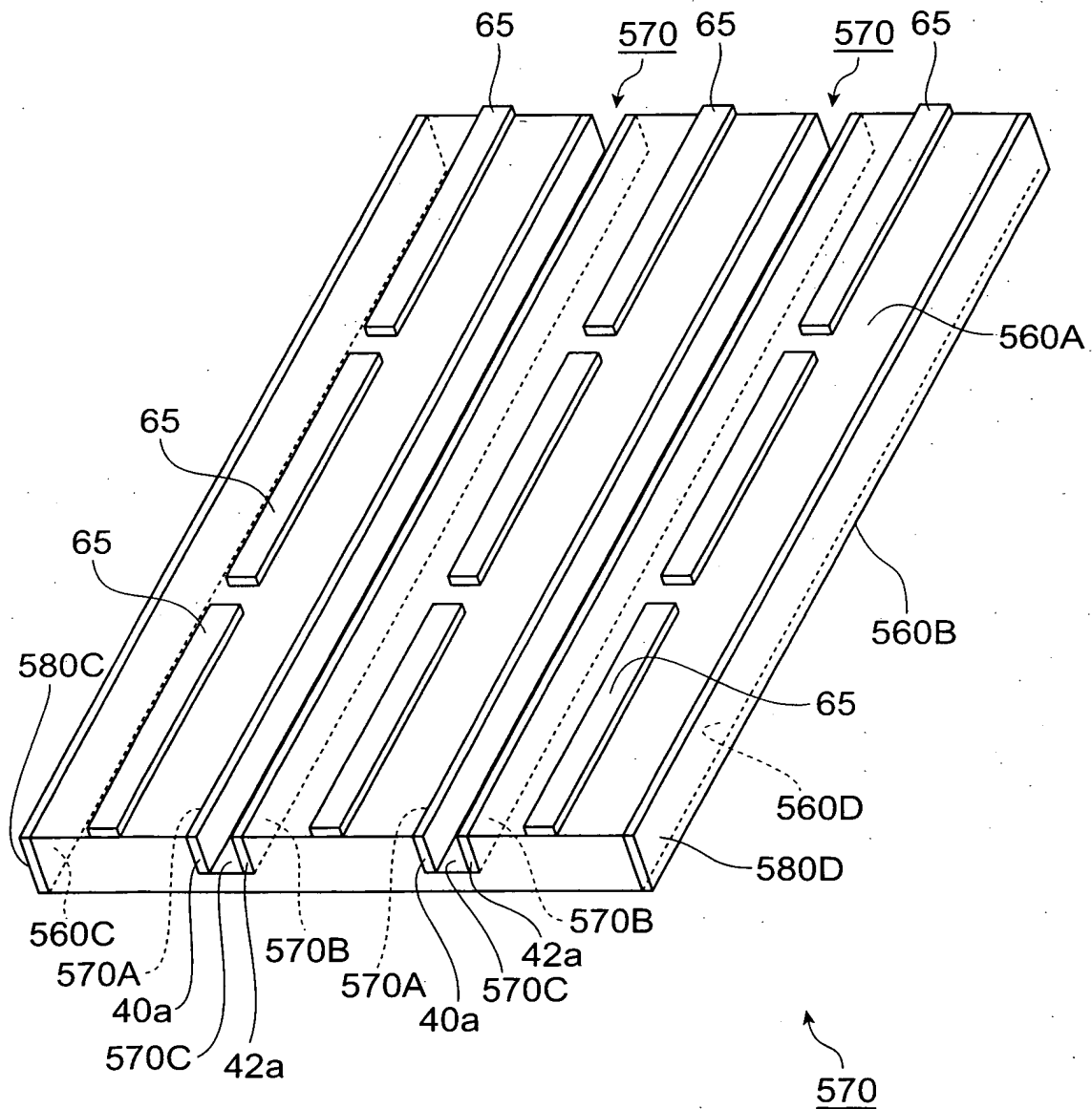
Fig.12

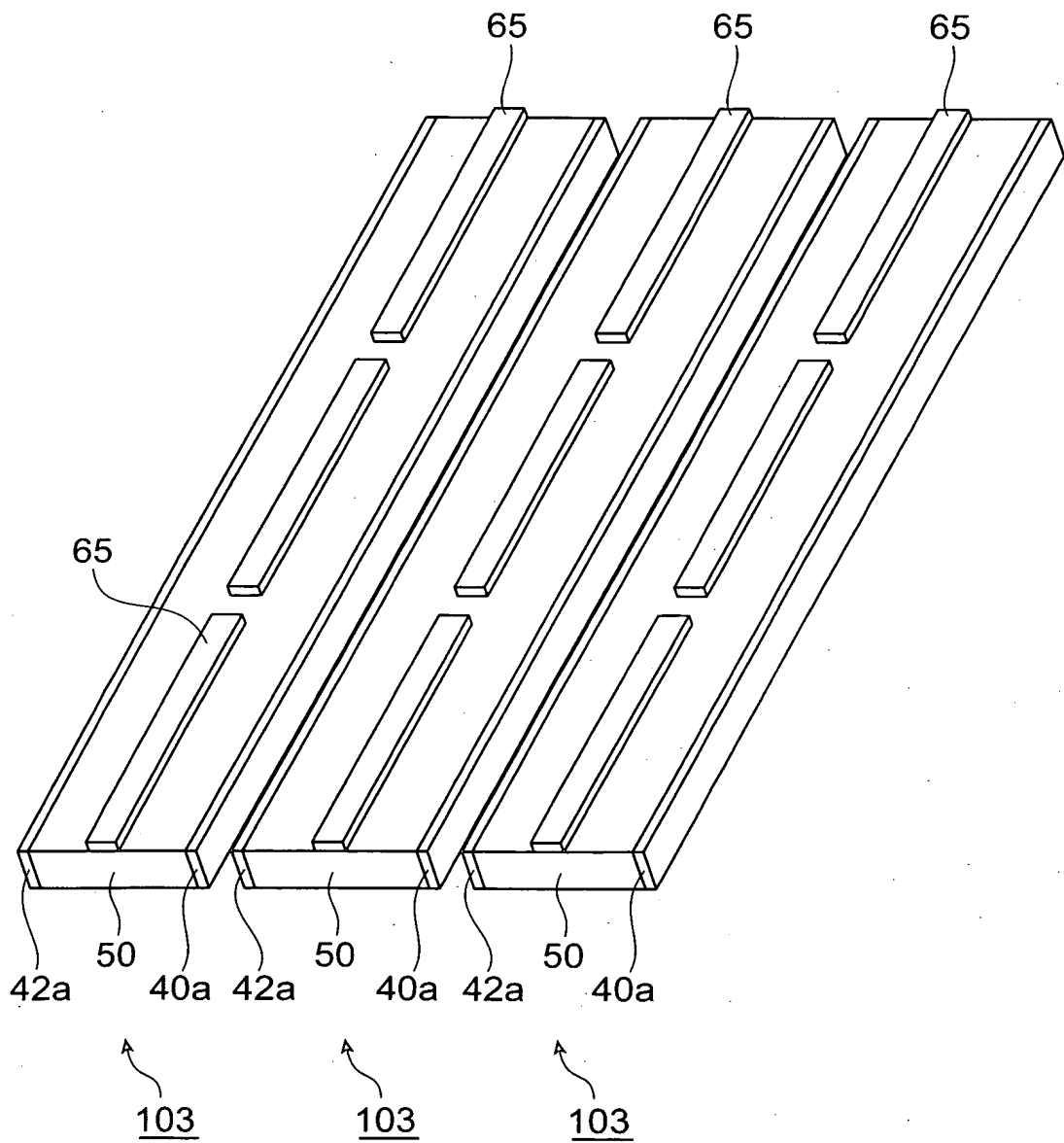
Fig. 13

Fig. 14

	COMPOSITION (wt %)			COEFFICIENT OF THERMAL EXPANSION(CTE) ($1/\text{ }^{\circ}\text{C}$)	RESISTIVITY ($\Omega \cdot \text{cm}$)	3-POINT BENDING STRENGTH (MPa)
	MgO	TiO ₂	TiC	Al ₂ O ₃		
EXAMPLE 1	35.0	2.5	7.0	55.5	8.1×10^{-6}	1.0×10^9
EXAMPLE 2	40.0	2.5	7.0	50.5	8.5×10^{-6}	1.0×10^9
EXAMPLE 3	45.0	2.5	7.0	45.5	8.8×10^{-6}	1.0×10^9
EXAMPLE 4	50.0	2.5	7.0	40.5	9.0×10^{-6}	1.0×10^9
EXAMPLE 5	55.0	2.5	7.0	35.5	9.3×10^{-6}	1.0×10^9
EXAMPLE 6	40.0	1.5	7.0	51.5	8.5×10^{-6}	1.0×10^{12}
EXAMPLE 7	40.0	2.0	7.0	51.0	8.5×10^{-6}	5.0×10^{10}
EXAMPLE 8	40.0	3.0	7.0	50.0	8.5×10^{-6}	5.0×10^7
EXAMPLE 9	40.0	3.5	7.0	49.5	8.5×10^{-6}	1.0×10^6
EXAMPLE 10	40.0	2.5	6.0	51.5	8.5×10^{-6}	1.0×10^9
EXAMPLE 11	40.0	2.5	8.0	49.5	8.5×10^{-6}	1.0×10^9
EXAMPLE 12	40.0	2.5	9.0	48.5	8.5×10^{-6}	1.0×10^9
COMPARATIVE EXAMPLE 1	30.0	2.5	7.0	60.5	7.7×10^{-6}	1.0×10^9
COMPARATIVE EXAMPLE 2	60.0	2.5	7.0	30.5	9.5×10^{-6}	1.0×10^9
						450

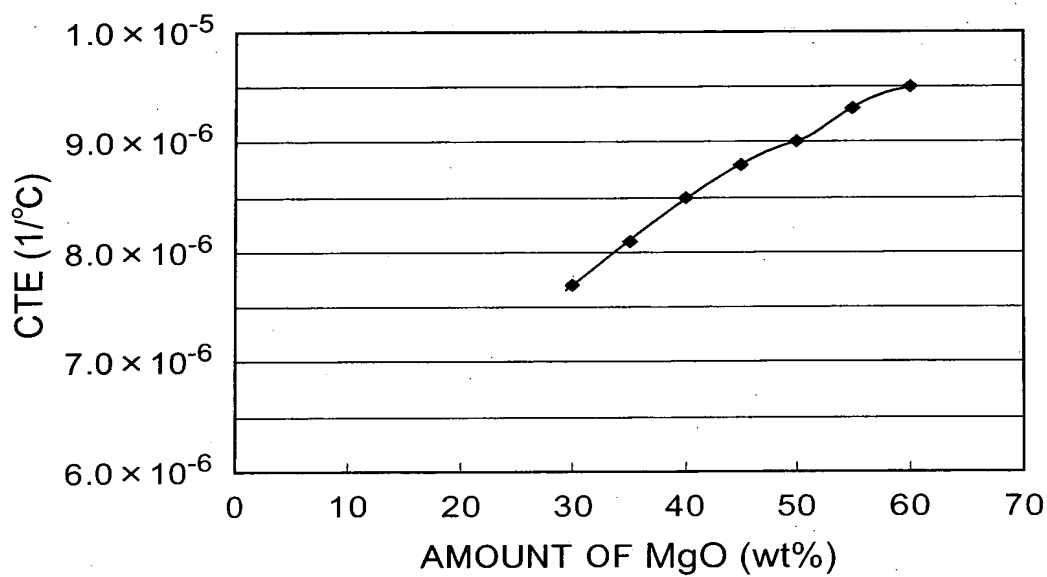
Fig. 15

Fig. 16

